

川崎製鉄株 正会員 上田為誠
川崎製鉄株 正会員 ○岡本勝昭

1. まえがき

最近、製鉄所に於いて、機械基礎の改造補修に施工の急速性を利用して穿孔ボルトが数多く使用されている。構造物、機械・設備類等を、コンクリート基礎に穿孔し接着剤を使って、あと付けする穿孔ボルトに対し、ボルト設計耐力（ボルト径 $\phi 30 \sim \phi 90$ ）を決めるために、各種の実験を行い考察を行ったので、ここに報告するものである。

2. 実験の種類と方法

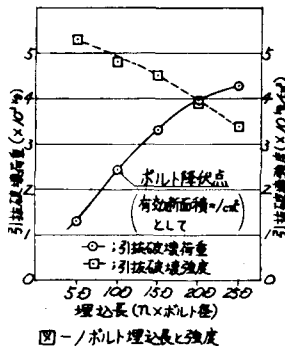
(1) 実験方法 充填材には、エポキシ樹脂および樹脂モルタルを使用し荷重としては、センターホールジャッキにて載荷し、ジャッキ反力は桁組を行いコンクリート破壊の影響外に作用させる。計測項目は、載荷々重・ボルト頭部変位・ひずみとし、載荷々重はロードセル、変位はダイヤルゲージ、ひずみはひずみゲージで測定し、各荷重ごとに自動記録させる。室内試験はアムスラー万能試験機で載荷し、破壊荷重を測定する。

2. 実験の種類

ボルト種類、径、長さの違いが耐力にどの程度影響するかを、実験により求める。よって、これを満足するような実験の種類を表-1に示す。なお、この現場実験を行う前に、充填材の付着力と穿孔長・穿孔径の関係を求めるための室内試験を行う。この室内試験は、付着力を把握するためのもので、ボルト破断ではなくボルト引抜けとなるように、ボルト埋込長（1cm, 2cm, 4cm）を小さくしたり、充填材に低強度なものを使用する。

3. 実験結果および考察

(1) 充填材の付着（室内試験）



試験結果より求め

た充填材の付着力と穿孔長・穿孔径の関係図を、図-1、図-2 に示す。ボルト埋込長が短い時（2cmまで）は、E200 及び E200 樹脂モルタルのいずれも、穿孔径が大きくなるに従ってボルト引抜強度は低下しており、明らかに寸法効果（樹脂の歪）がある。穿孔ボルト長の増加に伴い単位面積当りの引抜強度は低下する。ボルト埋込長と引抜強度の関係をみると、ボルト自身の降伏強度以内で引抜破壊する場合は、比較的線形した関係 ($y = ax$, y : 破壊荷重, x : 埋込長), またボ

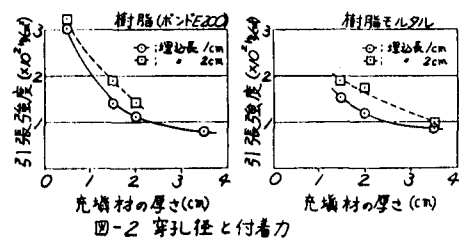


図-2 穿孔径と付着力

ルト降伏強度以上で破壊する場合は、 $\gamma = 0.1$ に類似した関係が見られた。

(2) ボルトの種類(現場実験)

全ネジ切欠形鉄筋を使用した穿孔ボルトは、ボルト応力が同程度の時に、コンクリート破壊を生じ、ボルト材質の違いによって、極限荷重が決まっており大差ない性能となっている。丸鋼はボルト応力が小さい時に、ボルトが引抜けており、埋込長を大きくするか先端部にフックをつける等の工夫が必要である。(表-1 参照)

(3) 穿孔ボルト耐力(現場実験)

ボルトの種類は全ネジ切欠し、実験結果を表-1、ひずみ値から算出した付着力とせん断力の関係を図-3に示す。

ボルト径Φ30の場合、穿孔径によるボルト耐力の差は見られなく、Φ90ボルトは、施工上よりの最小孔径が160mmであったが、充填材の破壊となってしまい、充填材の付着力と穿孔径の関係(室内試験)も考慮すると、穿孔径を大きくし、充填材の断面を増加させても樹脂歪が生じ樹脂の破壊となる。よって穿孔径については、施工上可能なかぎり小さくして、充填材の量を少なくするのが経済的と思われる。

穿孔長は充填材の付着力とともに、ボルト耐力の決定に大きな要因となり

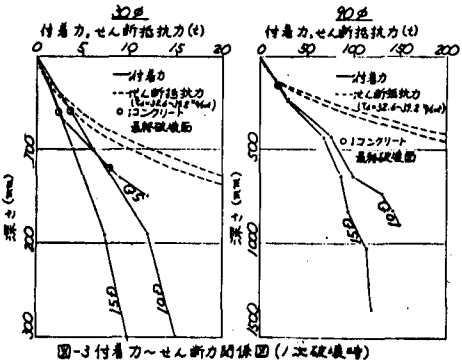


図-3 付着力～せん断力関係図(ノミ破壊時)

ボルト耐力の算定式にはこれを考慮した。コンクリートの破壊荷重とボルトの破壊荷重又は付着力、となる時の穿孔ボルトの破壊機構は、1次破壊(コンクリート破壊)、2次破壊(ボルト破断・引抜)に分けられる。1次破壊は最大せん断の表われる面におけるコンクリートの破壊であり順次進行する。ボルト耐力として問題となる2次破壊の破壊荷重は、コンクリートの最終破壊面より下の付着力とボルトの破壊荷重の小なる方であるから、ボルト耐力の算定式は " $f_{max} = \min \{(l-x_2) \pi d u_{max}, N_d\}$ " と考えた。(図-4 参照) これは付着力とせん断力の接点から、コンクリート表面までの値となり、実験値から、Φ30ボルトで $x_2 = 7cm$ 、Φ90ボルトで $x_2 = 20cm$ であった。 u_{max} は、充填材やボルトの種類、穿孔長および穿孔径により影響され、穿孔長と穿孔径が大きくなれば、小さくなると考えられる。このため、規準 u_{max} を決め、穿孔長・穿孔径の変化による u_{max} の変動を係数 $\alpha \cdot \beta$ で表す。すなわち次式による、 " $u_{max} = \alpha \times \beta \times \text{規準 } u_{max}$ " 規準 u_{max} は、実験結果より、Φ30ボルトで規準 $u_{max} = 160 \text{ kg/cm}^2$ 、Φ90ボルトで規

準 $u_{max} = 100 \text{ kg/cm}^2$ であった。又係数 $\alpha \cdot \beta$ は、充填材の付着力と穿孔長および穿孔径の関係より求めた。そして、穿孔ボルトの理論耐力を計算し、実験値との比較を表-2に行なった。

4. あとがき

ボルトの種類、ボルト径、穿孔長をかえて行った試験より、穿孔ボルトの破壊の概要および概略のボルト耐力算定方法が理解された。今後の検討課題としては、穿孔ボルトの疲労耐力強度等を研究してゆきたい。

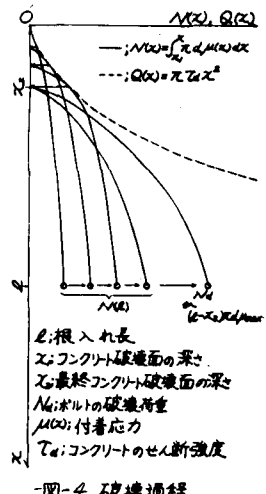


図-4 破壊過程

表-2 ボルト耐力の比較										
実験番号	N01	N02	N05	N06	N07	N08	N09	N10	N11	
ボルト径(mm)	Φ30	Φ90								
埋込長(Φ30)mm	100	100	100	100	150	50	100	100	150	
$l(cm)$	30	30	30	30	45	15	30	90	135	
$x(cm)$	7	7	7	7	2	7	7	7	7	
$d(cm)$	3	3	3	3	3	3	3	3	3	
$u_{max}(\text{kg}/\text{cm}^2)$	139	139	100	72	120	160	139	100	78	
$(l-x_2) \times d \times u_{max}$	30.100	30.100	21.000	15.600	22.000	22.000	22.000	22.000	22.000	
$N_{theoretical}(N)$	22000	22000	21700	15400	22000	21050	22000	22000	22000	
$S_{theoretical}(t)$	22000	22000	21700	15400	22000	21050	22000	22000	22000	
実験値(N)	21000	21000	20500	14000	21000	21000	21000	21000	21000	*

* ボルト破壊状態が「ボルト引抜き」となる場合